

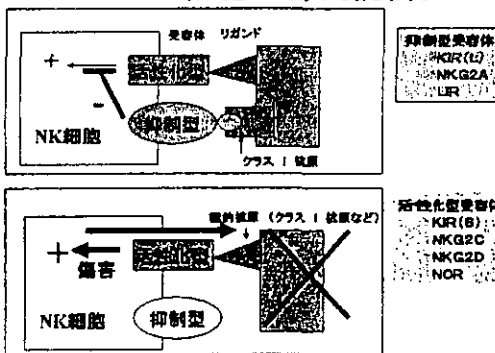
厚生労働科学研究ヒトゲノム、再生医療等研究事業  
「骨髄等を利用した効率的な造血幹細胞移植の選用、  
登録と臨床試験体制の確立に関する研究」班  
平成15年度第一回研究会議 平成15年7月12日

## NK受容体KIRの移植成績への関与 ：活性化型KIR不適合とGVHD発症

東京都赤十字血液センター

座部登志雄、佐竹正博

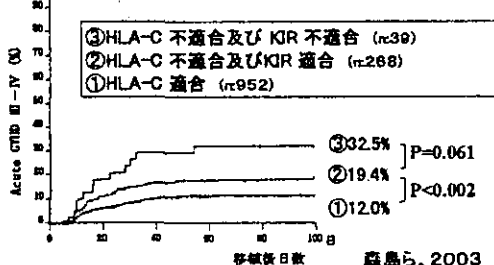
## NK細胞の標的認識



### KIRエピトープ適合性と急性GVHD(III-IV)

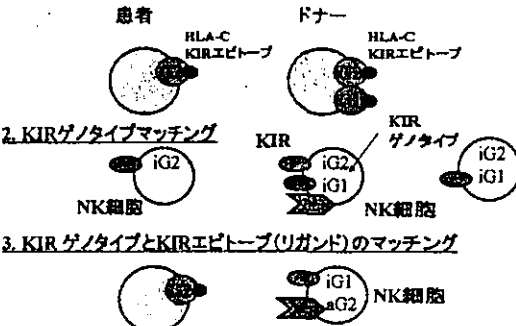
KIRエピトープ不適合: GVHD方向

HLA-A, B, DR適合例



### 造血幹細胞移植におけるKIR適合性解析法

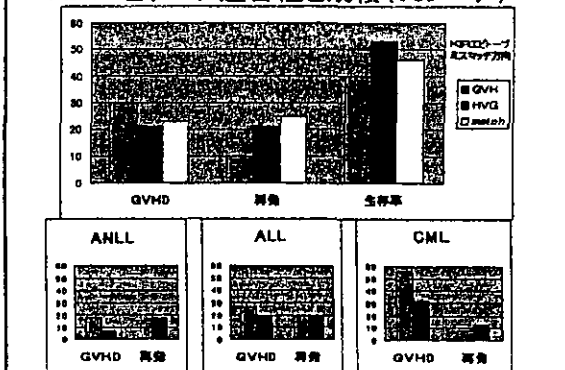
#### 1. KIRエピトープ(リガンド)マッチング

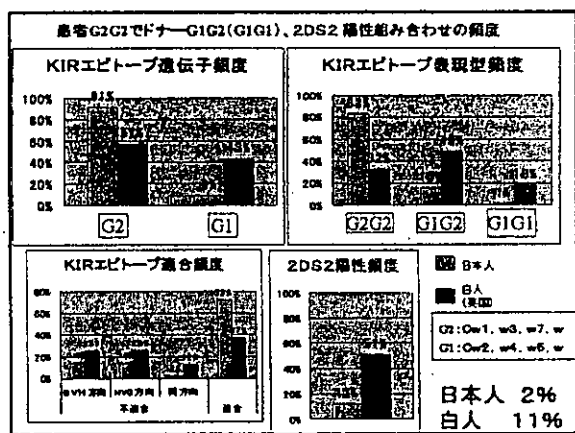
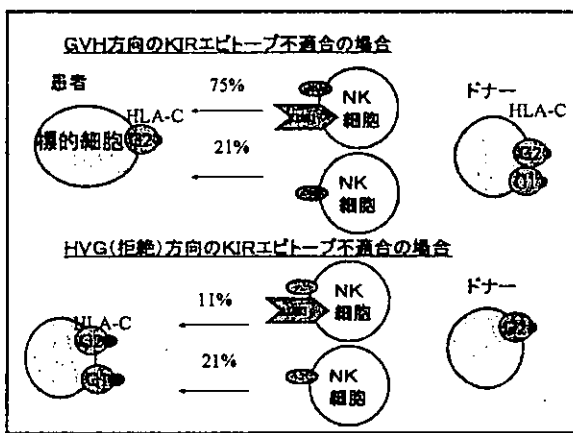
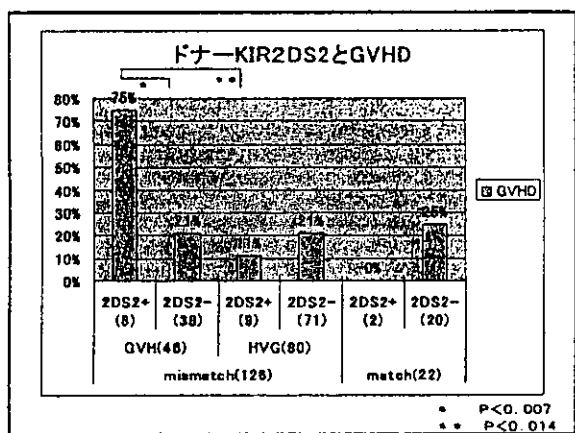
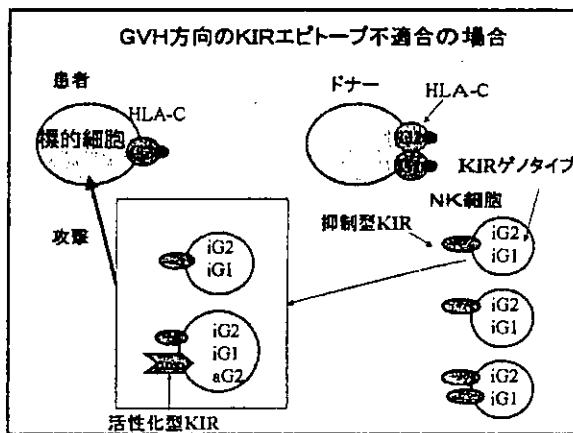
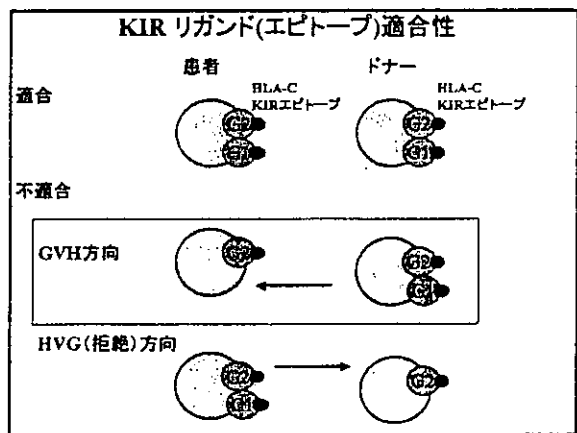


## 解析189ペア

ALL	54	NHL	8
ANLL	52	SAA	13
CML	45	HD	4
MDS	13		
KIRエピトープ適合性 患者 ドナー n GVHD 再発 生存率			
適合 G2G2 G2G2 20			
不適合 G1G2 G1G2 22 22.7% 25.0% 45.5%			
G1G1 G1G1 0.			
不適合 GVH 方向 G2G2 G1G2 51 29.8% 10.0% 39.2%			
G1G1 G1G2 2			
HVG(拒絶)方向 G1G2 G2G2 86 21.0% 21.0% 52.9%			
G1G2 G1G1 4			
相互 G2G2 G1G1 1			
G1G1 G2G2 3			

### KIRエピトープ適合性と成績(189ペア)





**まとめ**

活性化型KIR2DS2陽性ドナーとそのリガンドであるKIRエピトープG2陽性患者間では急性GVHD(3~4度)の発症が有意に高いが、これはドナーにG2認識抑制型KIRを発現しないNK細胞が存在する組み合わせ(GVH方向KIRエピトープ不適合の場合)でのみ観察された。

このことは抑制型NK受容体が機能しない場合に、活性化型NK受容体リガンドのHLA抗原の不適合があるとGVHDが発症することを示唆している。

**考察**

HLA適合性に加え、KIRエピトープ同士の適合性およびKIR遺伝子型とエピトープ間の適合性を考慮すると急性GVHD発症を軽減できる可能性がある。

平成 15 年度厚生労働科学研究 ヒトゲノム・再生医療等研究事業  
「骨髓等を利用した効率的な造血幹細胞移植の運用・登録と臨床試験体制の  
確立に関する研究」班 第一回会議

マイクロサテライトマーカーを用いたゲノムワイドな組織適合遺伝子の検索

東海大学医学部分子生命科学系  
成瀬妙子、猪子 英俊

従来、造血幹細胞移植における組織適合性については、HLA と限られたマイナーアントителが散発的に調べられている。我々は、ゲノムワイドに設定した約 30,000 個の多型マイクロサテライトマーカーを用いて遺伝子多型解析を行い、レシピエントとドナーの多型の差異と、GVHD レベルを統計学的に解析することで、GVHD に関与すると考えられるマイナーアントителを同定することを目的として、多型一致度の解析を行い、全染色体レベルにおいて組織適合性に関与する遺伝子をすべて系統的に同定することを試みている。

現在までに骨髄バンクを通じて施行された非血縁者間骨髓移植のうち、HLA-A,B,C,DR,DQ 適合の 321 組について解析を行う予定であるが、現在、その中から DNA サンプルの入手が容易であった 100 組について、第 6 染色体 HLA 遺伝子領域内、および第 22 染色体について解析をすすめている。

まず第 6 染色体については、HLA 領域に設定されたマイクロサテライトマーカーを用いて、急性 GVHD とマーカーの一一致率を解析した。

ゲノムワイドな組織適合性遺伝子の検索

対象

HLA-A,B,C,DR,DQ 適合の非血縁骨髓移植施行例	
対象	HLA-A,B,C,DR,DQ 適合の非血縁骨髓移植施行例 計 321 組
急性 GVHD	
○ 度	94 組
I 度	116 組
II 度	72 組
III 度	24 組
IV 度	16 組
計	321 組

HLA遺伝子領域におけるドナー、レシピエントのマイクロサテライト多型の一一致度についての解析

対象

HLA-A,B,C,DR,DQ 適合の非血縁骨髓移植施行例 計 100 組

急性 GVHD	患者性別	患者年令	疾患名
○ 度 26 組	男性 43 例	1 才 - 50 才 (平均年令 28.47 才)	ALL 27 例
I 度 25 組	女性 57 例		ANLL 39 例
II 度 25 組			CML 34 例
III 度 17 組			
IV 度 8 組			

方法

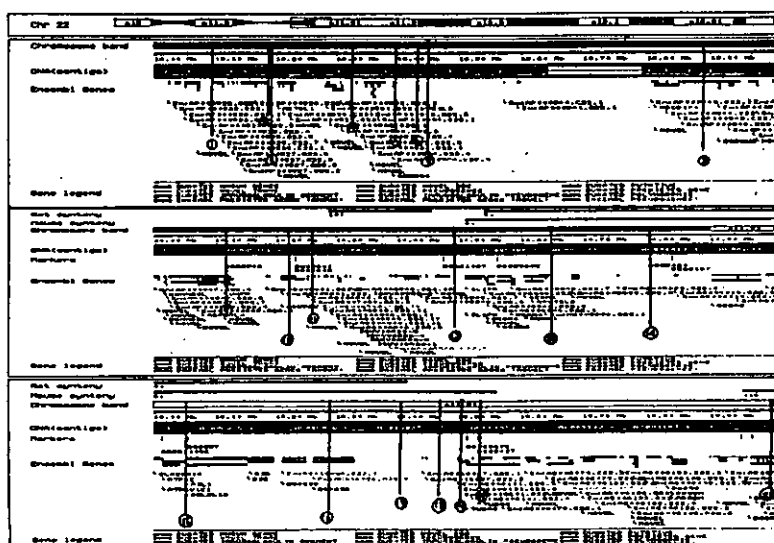
HLA 領域に設定された 9 種のマイクロサテライトマーカーについて多型検索を行い、ドナーとレシピエントの一一致度を検索する

HLA遺伝子領域におけるドナー、レシピエントのマイクロサテライト多型の一一致度についての解析

急性GVHD度別マーカー一致率

Marker	AG=0(n=25)	AG=1(n=25)	AG=2(n=25)	AG=3/4(n=25)
DOCAR	24 (96%)	24 (96%)	23 (92%)	25 (100%)
D6S273	14 (56%)	18 (72%)	16 (64%)	16 (64%)
TNFD	18 (72%)	21 (84%)	19 (76%)	16 (64%)
TNF $\alpha$	17 (68%)	19 (76%)	18 (72%)	19 (76%)
MICA	23 (92%)	24 (96%)	24 (96%)	22 (88%)
MIB	22 (88%)	23 (92%)	21 (84%)	23 (92%)
C1-2-5	19 (76%)	13 (52%)	20 (80%)	18 (72%)
C1-3-1	24 (96%)	23 (92%)	23 (92%)	23 (92%)
C3-2-11	14 (56%)	11 (44%)	8 (32%)	13 (52%)

また、第 22 染色体については、長腕上の 13.0Mb から 15.5Mb の範囲で設定されたマイクロサテライトマーカー 8 種を用いて多型解析を行った。第 22 番染色体には、機能の特定されていない新規遺伝子が多数存在しており、その付近のマイクロサテライトマーカー 4 種(13.0Mb、13.3Mb、14.4Mb、15.0Mb)についての多型解析では、多型一致度と GVHD 発症度との相関は得られなかった。また、15.5Mb 付近のマーカーで、患者と骨髄提供者のマイクロサテライト多型の一一致が多くなるにつれ、GVHD の発症が軽度になる傾向が認められた。しかしながら 15.4Mb 付近のマーカーでは、傾向が異なるため、さらに 15.5Mb からテロメア方向に範囲を拡大し、検討を行っている。



厚生労働科学研究ヒトゲノム・再生医療等研究事業

「骨髄等を利用した効率的な造血幹細胞移植の運用・登録と臨床試験体制の確立に関する研究」班  
平成 15 年 7 月 12 日 平成 15 年度第一回研究班会議（於 名古屋第一赤十字病院）

造血幹細胞移植と組織適合性抗原部会

「HLA-A24 拘束性マイナー抗原 ACC-1 が移植後経過に及ぼす影響の検討」

愛知県がんセンター研究所・腫瘍免疫学部 赤塚美樹、西田徹也（現名古屋大学医学部）

## 1. はじめに

我々は最近 HLA-A\*2402 によって提示されるマイナー抗原エピトープペプチド (ACC-1) を同定し報告した (Akatsuka Y, Nishida T, et al. *J Exp Med.* 197:1489-1500, 2003)。ACC-1 は造血系細胞に特異的に発現する *BCL2AI* の第 19 番目のアミノ酸の多型によって規定され、チロシンの場合に抗原性を有し、システインの場合には抗原性がない。遺伝子の発現パターンから HA-1 マイナー抗原の様に白血病に対する同種造血細胞移植後の養子免疫療法の標的として有望と考えられるが、実際の移植後の GVHD 等の臨床経過に与える影響は不明である。そこで我々は非血縁者間移植を受けた白血病症例中 HLA-A, B, C, DRB1, DQB1 遺伝子型一致、HLA-A\*2402 が陽性の 430 ペアについて、ドナーと患者間の ACC-1 不適合と移植成績の比較解析を行なったので報告する。

## 2. 方法

骨髄移植推進財団を通じて 1993 年 1 月より 1998 年 4 月までの間に非血縁者間移植を行なわれた 1,090 ペアより小寺班にて集積された DNA 試料のうち上記の条件を満たすペアについて、ACC-1 の遺伝子タイピングを行なった。タイピングには TaqMan PCR による Allelic Discrimination 法を用いた。

## 3. 結果

重症急性 GVHD の発症、再発率、無病生存率、生存率とも、患者およびドナーの ACC-1 の不適合による有意差を認めなかった。Standard risk の白血病に対する移植では Kaplan-Meyer 法による無病生存率が不適合群でやや良好な傾向が認められたが、有意差はなかった。また、多変量解析では ACC-1 不適合は予後因子とはならなかった。

## 4. 考察

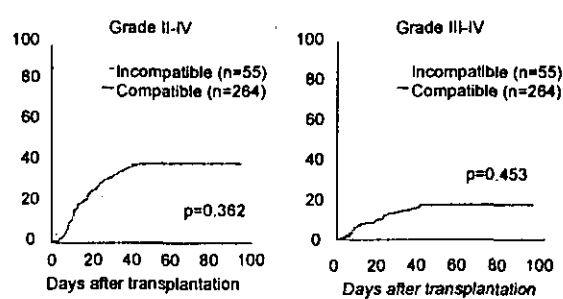
多数の臨床研究が施行されている HLA-A\*0201 陽性例の同種造血細胞移植後における HA-1 の不適合の影響は、重症急性 GVHD の発症に寄与するとする報告と、関係がないとする報告が半々程度である。今回の研究では、より遺伝的背景は異なるが症例数の豊富な非血縁者間移植における ACC-1 の不適合の影響を検討したが、現在までのところ ACC-1 の不適合が有意に GVHD を増加するという結果は出ていない。また造血系の細胞に特異的に発現する *KIAA0223* 遺伝子にコードされる HA-1 が GVHD の発症の標的となりうることは、患者の抗原提示細胞が多数残存する移植後早期では、たとえ造血系細胞に特異的に発現するマイナー抗原であっても GVHD の標的となる可能性を示唆している。HA-1 を養子免疫療法の標的とした臨床研究が既にライデン大学でなされており、ACC-1 を標的とした養子免疫療法も、投与時期に注意することで（すなわち移植後早期には投与しない）GVHD を惹起することなく抗腫瘍効果を利用できると考えられる。

### Patients Characteristics -ACC-1

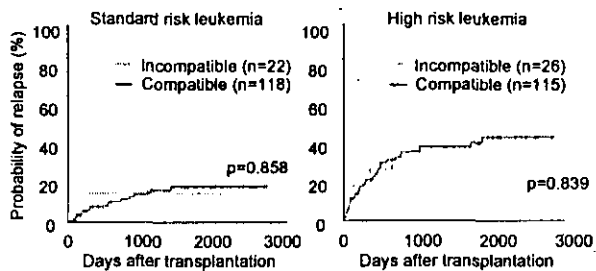
	ACC-1 Compatible	ACC-1 Incompatible	p-value
Total No. of patients	285	55	
Median age (range)	25 (1-50)	26 (7-50)	.404
Gender (donor / patient)			.987
F / F	38 (14%)	8 (15%)	
F / M	59 (22%)	11 (20%)	
M / F	66 (25%)	14 (26%)	
M / M	102 (39%)	22 (40%)	
Disease			.825
Standard risk leukemia*	118 (45%)	22 (40%)	
High risk leukemia *	115 (43%)	26 (47%)	
Others (MDS, NHL)	32 (12%)	7 (13%)	
Preconditioning regimen with TBI	224 (85%)	50 (83%)	.862
GVHD prophylaxis			.274
CyA base	232 (88%)	51 (93%)	
FK base	33 (12%)	4 (7%)	

\* : ALL 1<sup>st</sup> CR, AML 1<sup>st</sup> CR, CML 1<sup>st</sup> CP    # : more advanced status than standard risk

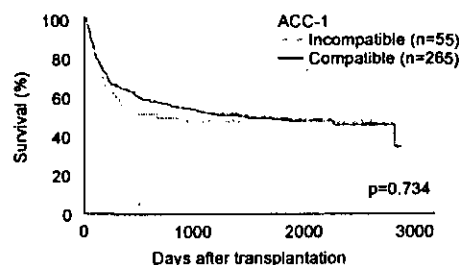
### Probability of acute GVHD —ACC-1



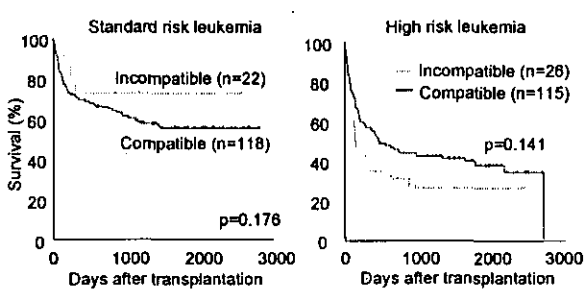
### Probability of relapse —ACC-1



### Disease free survival —ACC-1



### Disease free survival —ACC-1



### Multivariate analysis for factors affecting clinical outcome —ACC-1—

Outcome and factor	Hazard risk (95%CI)	p-value
<b>Grade II-IV acute GVHD</b>		
ACC-1 disparity	0.906 (0.520-1.577)	.726
<b>Relapse</b>		
ACC-1 disparity	1.041 (0.506-2.143)	.914
Risk of leukemia	3.165 (1.781-5.623)	<.001
<b>Disease free survival</b>		
ACC-1 disparity	1.001 (0.648-1.546)	.996
Risk of leukemia	2.127 (1.507-3.002)	<.001
Patient age	1.019 (1.005-1.033)	.006
Donor age	1.026 (1.005-1.047)	.017

平成 15 年 7 月 12 日

## HLA-A24 拘束性マイナー組織適合性抗原 (ACC-1) の適合性と GVL/GVH との相関

丸屋悦子<sup>1</sup>、赤塚美樹<sup>2</sup>、一戸辰夫<sup>3</sup>、西田徹也<sup>2</sup>、森島泰雄<sup>4</sup>、高橋利忠<sup>2</sup>、佐治博夫<sup>1</sup>

HLA 研究所<sup>1</sup>、愛知県がんセンター研究所 腫瘍免疫学部<sup>2</sup>、京都大学医学部附属病院

血液腫瘍内科<sup>3</sup>、愛知県がんセンター病院 血液・細胞治療部<sup>4</sup>

日本人に最も頻度の高い HLA-A\*2402 拘束性のマイナー組織適合性抗原 (ACC-1) が赤塚らにより同定され、養子免疫療法への応用の可能性が示唆されている。前回の研究会で ACC-1 の簡便な DNA typing 法とその遺伝子頻度および非血縁間・親子間・同胞間での不適合確率を報告した（裏面に再掲）。今回、HLA-A24 を保有する HLA-identical sibling 間造血幹細胞移植例 (45 例) での、ACC-1 適合性と acute GVHD ( $\geq$  grade III) 発症率および再発率との相関を調べた。

### 解析対象

HLA-A24 を保有する HLA-identical sibling 間造血幹細胞移植で CyA+MTX を GVHD 予防法とした全造血器腫瘍症例 (N=45) を解析対象とした。

### 解析方法

症例数が 45 例と少ないため、年齢・性別・病期をとわず解析した。統計学的処理は GVH 方向の適合・不適合群で grade III 以上の GVHD 発症率および再発率を比較した。

### 解析結果

#### ◆ Acute GVHD ( $\geq$ grade III) との相関

ACC-1 が GVH 方向適合群 39 例、不適合群 (IC 群) が 6 例あり、acute GVHD ( $\geq$  III) の発症率は C 群で 7.7% (3/39)、IC 群で 16.7% (1/6) であった。両群間に有意差はなかった。

#### ◆ GVL 効果との相関

両群での再発率と無病生存率を比較した。

GVH 方向不適合群は 6 症例ではあるが、全例再発は無かった。一方適合群では 39 例中 9 例に再発が見られた。

全造血器腫瘍症例 (N=45)	再発率	無病生存率	a-GVHD ( $\geq$ III)
GVH 方向不適合群 (6)	0%	83%	16.7% (1/6)
GVH 方向適合群 (39)	23% (9/39)	69.2%	7.7% (3/39)

### 骨髄系腫瘍症例 (AML, MDS, CML; N=27)

GVH 方向不適合群 (3)	0%	100%	33% (1/3)
GVH 方向適合群 (24)	25% (6/24)	62.5%	4% (1/24)

### 考察

ACC-1 の GVH 方向不適合群で GVL 効果が得られる傾向がみられた。しかしながら今回の解析では不適合症例数が少なく十分な解析には至らなかった。今後症例を増やし GVL/GVH との相関を解析する必要がある。

平成 15 年度厚生労働科学研究 ヒトゲノム・再生医療等研究事業  
 「骨髓等を利用した効率的な造血幹細胞移植の運用・登録と臨床試験体制の確立に関する研究」班  
 平成 15 年度第一回研究班会議

平成 15 年 7 月 12 日

ALLEL TYPE	# OBSERVED	ALLEL	ALLEL FREQ.	PHENOTYPE FREQ.	ACC-1 PHENOTYPE
A/A	22	A	0.516	80.2%	ACC-1 (+)
G/G	19	G	0.484	77.1%	
A/G	55	(G/G)		19.8%	ACC-1 (-)
Total	96		1.000		

ACC-1 の遺伝子頻度・表現頻度 (日本人パネル 実測値) n=96

ACC-1 不適合確率

Pair	ACC-1(-) donor versus (+) Recipient
Un-related Pair	0.179 (17.9%)
Parent/Offspring Pair	incompatible
Sibling Pair	0.121 (12.1%)
	incompatible
	0.105 (10.5%)
	incompatible

計算式 :

X: allele frequency, Y= incompatibility

◆ Unrelated Pair :  $Y = X^2(1-X)^2$ , (Max: X=0.31, Y=0.249)

◆ Parental/ Offspring :  $Y = X^2(1-X)$ , (Max: X=0.33, Y=0.148)

◆ Sibling pair :  $Y = X^2(1-X)(3+X)/4$ , (Max: X=0.31, Y=0.136)

ACC-1 を標的とするアロ免疫療法は、A\*24 の表現頻度を 45.8% とするとき、  
 非血縁間で 8.2% の患者さんに、  
 親子間で 5.5%、  
 同胞間で 4.8% の  
 ペアに適用可能である。

## ドナー欠損型マイナーアンペルUGT2B17の同定およびその臨床的意義に関する検討

名古屋大学大学院 血液内科 村田 誠、寺倉精太郎、恵美宣彦、直江知樹

**ドナー欠損型マイナーアンペルUGT2B17の同定  
およびその臨床的意義に関する検討**

名古屋大学大学院 血液内科 村田 誠

**Introduction**

マイナーアンペル（mHAGs）

- 抗原内タンパク由来
- 造形子多型により患者とドナー間で異なるアミノ酸配列を持つ
- MHC上に提示されるペプチド

同様造血幹細胞移植におけるGVHDあるいはGVHL効果の類似となりうる

**Molecularly Defined Human mHAGs**

Antigenic mHAGs	HLA	Allele	Sequence
HLA-B*0702	HLA-B	B*0702	SGEFLNIPFLY
HLA-B*0802	HLA-B	B*0802	SGEFLNIPFLY
HLA-B*0803	HLA-B	B*0803	SGEFLNIPFLY
HLA-B*0804	HLA-B	B*0804	SGEFLNIPFLY
HLA-B*0805	HLA-B	B*0805	SGEFLNIPFLY
HLA-B*0806	HLA-B	B*0806	SGEFLNIPFLY
HLA-B*0807	HLA-B	B*0807	SGEFLNIPFLY
HLA-B*0808	HLA-B	B*0808	SGEFLNIPFLY
HLA-B*0809	HLA-B	B*0809	SGEFLNIPFLY
HLA-B*0810	HLA-B	B*0810	SGEFLNIPFLY
HLA-B*0811	HLA-B	B*0811	SGEFLNIPFLY
HLA-B*0812	HLA-B	B*0812	SGEFLNIPFLY
HLA-B*0813	HLA-B	B*0813	SGEFLNIPFLY
HLA-B*0814	HLA-B	B*0814	SGEFLNIPFLY
HLA-B*0815	HLA-B	B*0815	SGEFLNIPFLY
HLA-B*0816	HLA-B	B*0816	SGEFLNIPFLY
HLA-B*0817	HLA-B	B*0817	SGEFLNIPFLY
HLA-B*0818	HLA-B	B*0818	SGEFLNIPFLY
HLA-B*0819	HLA-B	B*0819	SGEFLNIPFLY
HLA-B*0820	HLA-B	B*0820	SGEFLNIPFLY
HLA-B*0821	HLA-B	B*0821	SGEFLNIPFLY
HLA-B*0822	HLA-B	B*0822	SGEFLNIPFLY
HLA-B*0823	HLA-B	B*0823	SGEFLNIPFLY
HLA-B*0824	HLA-B	B*0824	SGEFLNIPFLY
HLA-B*0825	HLA-B	B*0825	SGEFLNIPFLY
HLA-B*0826	HLA-B	B*0826	SGEFLNIPFLY
HLA-B*0827	HLA-B	B*0827	SGEFLNIPFLY
HLA-B*0828	HLA-B	B*0828	SGEFLNIPFLY
HLA-B*0829	HLA-B	B*0829	SGEFLNIPFLY
HLA-B*0830	HLA-B	B*0830	SGEFLNIPFLY
HLA-B*0831	HLA-B	B*0831	SGEFLNIPFLY
HLA-B*0832	HLA-B	B*0832	SGEFLNIPFLY
HLA-B*0833	HLA-B	B*0833	SGEFLNIPFLY
HLA-B*0834	HLA-B	B*0834	SGEFLNIPFLY
HLA-B*0835	HLA-B	B*0835	SGEFLNIPFLY
HLA-B*0836	HLA-B	B*0836	SGEFLNIPFLY
HLA-B*0837	HLA-B	B*0837	SGEFLNIPFLY
HLA-B*0838	HLA-B	B*0838	SGEFLNIPFLY
HLA-B*0839	HLA-B	B*0839	SGEFLNIPFLY
HLA-B*0840	HLA-B	B*0840	SGEFLNIPFLY
HLA-B*0841	HLA-B	B*0841	SGEFLNIPFLY
HLA-B*0842	HLA-B	B*0842	SGEFLNIPFLY
HLA-B*0843	HLA-B	B*0843	SGEFLNIPFLY
HLA-B*0844	HLA-B	B*0844	SGEFLNIPFLY
HLA-B*0845	HLA-B	B*0845	SGEFLNIPFLY
HLA-B*0846	HLA-B	B*0846	SGEFLNIPFLY
HLA-B*0847	HLA-B	B*0847	SGEFLNIPFLY
HLA-B*0848	HLA-B	B*0848	SGEFLNIPFLY
HLA-B*0849	HLA-B	B*0849	SGEFLNIPFLY
HLA-B*0850	HLA-B	B*0850	SGEFLNIPFLY
HLA-B*0851	HLA-B	B*0851	SGEFLNIPFLY
HLA-B*0852	HLA-B	B*0852	SGEFLNIPFLY
HLA-B*0853	HLA-B	B*0853	SGEFLNIPFLY
HLA-B*0854	HLA-B	B*0854	SGEFLNIPFLY
HLA-B*0855	HLA-B	B*0855	SGEFLNIPFLY
HLA-B*0856	HLA-B	B*0856	SGEFLNIPFLY
HLA-B*0857	HLA-B	B*0857	SGEFLNIPFLY
HLA-B*0858	HLA-B	B*0858	SGEFLNIPFLY
HLA-B*0859	HLA-B	B*0859	SGEFLNIPFLY
HLA-B*0860	HLA-B	B*0860	SGEFLNIPFLY
HLA-B*0861	HLA-B	B*0861	SGEFLNIPFLY
HLA-B*0862	HLA-B	B*0862	SGEFLNIPFLY
HLA-B*0863	HLA-B	B*0863	SGEFLNIPFLY
HLA-B*0864	HLA-B	B*0864	SGEFLNIPFLY
HLA-B*0865	HLA-B	B*0865	SGEFLNIPFLY
HLA-B*0866	HLA-B	B*0866	SGEFLNIPFLY
HLA-B*0867	HLA-B	B*0867	SGEFLNIPFLY
HLA-B*0868	HLA-B	B*0868	SGEFLNIPFLY
HLA-B*0869	HLA-B	B*0869	SGEFLNIPFLY
HLA-B*0870	HLA-B	B*0870	SGEFLNIPFLY
HLA-B*0871	HLA-B	B*0871	SGEFLNIPFLY
HLA-B*0872	HLA-B	B*0872	SGEFLNIPFLY
HLA-B*0873	HLA-B	B*0873	SGEFLNIPFLY
HLA-B*0874	HLA-B	B*0874	SGEFLNIPFLY
HLA-B*0875	HLA-B	B*0875	SGEFLNIPFLY
HLA-B*0876	HLA-B	B*0876	SGEFLNIPFLY
HLA-B*0877	HLA-B	B*0877	SGEFLNIPFLY
HLA-B*0878	HLA-B	B*0878	SGEFLNIPFLY
HLA-B*0879	HLA-B	B*0879	SGEFLNIPFLY
HLA-B*0880	HLA-B	B*0880	SGEFLNIPFLY
HLA-B*0881	HLA-B	B*0881	SGEFLNIPFLY
HLA-B*0882	HLA-B	B*0882	SGEFLNIPFLY
HLA-B*0883	HLA-B	B*0883	SGEFLNIPFLY
HLA-B*0884	HLA-B	B*0884	SGEFLNIPFLY
HLA-B*0885	HLA-B	B*0885	SGEFLNIPFLY
HLA-B*0886	HLA-B	B*0886	SGEFLNIPFLY
HLA-B*0887	HLA-B	B*0887	SGEFLNIPFLY
HLA-B*0888	HLA-B	B*0888	SGEFLNIPFLY
HLA-B*0889	HLA-B	B*0889	SGEFLNIPFLY
HLA-B*0890	HLA-B	B*0890	SGEFLNIPFLY
HLA-B*0891	HLA-B	B*0891	SGEFLNIPFLY
HLA-B*0892	HLA-B	B*0892	SGEFLNIPFLY
HLA-B*0893	HLA-B	B*0893	SGEFLNIPFLY
HLA-B*0894	HLA-B	B*0894	SGEFLNIPFLY
HLA-B*0895	HLA-B	B*0895	SGEFLNIPFLY
HLA-B*0896	HLA-B	B*0896	SGEFLNIPFLY
HLA-B*0897	HLA-B	B*0897	SGEFLNIPFLY
HLA-B*0898	HLA-B	B*0898	SGEFLNIPFLY
HLA-B*0899	HLA-B	B*0899	SGEFLNIPFLY
HLA-B*0900	HLA-B	B*0900	SGEFLNIPFLY
HLA-B*0901	HLA-B	B*0901	SGEFLNIPFLY
HLA-B*0902	HLA-B	B*0902	SGEFLNIPFLY
HLA-B*0903	HLA-B	B*0903	SGEFLNIPFLY
HLA-B*0904	HLA-B	B*0904	SGEFLNIPFLY
HLA-B*0905	HLA-B	B*0905	SGEFLNIPFLY
HLA-B*0906	HLA-B	B*0906	SGEFLNIPFLY
HLA-B*0907	HLA-B	B*0907	SGEFLNIPFLY
HLA-B*0908	HLA-B	B*0908	SGEFLNIPFLY
HLA-B*0909	HLA-B	B*0909	SGEFLNIPFLY
HLA-B*0910	HLA-B	B*0910	SGEFLNIPFLY
HLA-B*0911	HLA-B	B*0911	SGEFLNIPFLY
HLA-B*0912	HLA-B	B*0912	SGEFLNIPFLY
HLA-B*0913	HLA-B	B*0913	SGEFLNIPFLY
HLA-B*0914	HLA-B	B*0914	SGEFLNIPFLY
HLA-B*0915	HLA-B	B*0915	SGEFLNIPFLY
HLA-B*0916	HLA-B	B*0916	SGEFLNIPFLY
HLA-B*0917	HLA-B	B*0917	SGEFLNIPFLY
HLA-B*0918	HLA-B	B*0918	SGEFLNIPFLY
HLA-B*0919	HLA-B	B*0919	SGEFLNIPFLY
HLA-B*0920	HLA-B	B*0920	SGEFLNIPFLY
HLA-B*0921	HLA-B	B*0921	SGEFLNIPFLY
HLA-B*0922	HLA-B	B*0922	SGEFLNIPFLY
HLA-B*0923	HLA-B	B*0923	SGEFLNIPFLY
HLA-B*0924	HLA-B	B*0924	SGEFLNIPFLY
HLA-B*0925	HLA-B	B*0925	SGEFLNIPFLY
HLA-B*0926	HLA-B	B*0926	SGEFLNIPFLY
HLA-B*0927	HLA-B	B*0927	SGEFLNIPFLY
HLA-B*0928	HLA-B	B*0928	SGEFLNIPFLY
HLA-B*0929	HLA-B	B*0929	SGEFLNIPFLY
HLA-B*0930	HLA-B	B*0930	SGEFLNIPFLY
HLA-B*0931	HLA-B	B*0931	SGEFLNIPFLY
HLA-B*0932	HLA-B	B*0932	SGEFLNIPFLY
HLA-B*0933	HLA-B	B*0933	SGEFLNIPFLY
HLA-B*0934	HLA-B	B*0934	SGEFLNIPFLY
HLA-B*0935	HLA-B	B*0935	SGEFLNIPFLY
HLA-B*0936	HLA-B	B*0936	SGEFLNIPFLY
HLA-B*0937	HLA-B	B*0937	SGEFLNIPFLY
HLA-B*0938	HLA-B	B*0938	SGEFLNIPFLY
HLA-B*0939	HLA-B	B*0939	SGEFLNIPFLY
HLA-B*0940	HLA-B	B*0940	SGEFLNIPFLY
HLA-B*0941	HLA-B	B*0941	SGEFLNIPFLY
HLA-B*0942	HLA-B	B*0942	SGEFLNIPFLY
HLA-B*0943	HLA-B	B*0943	SGEFLNIPFLY
HLA-B*0944	HLA-B	B*0944	SGEFLNIPFLY
HLA-B*0945	HLA-B	B*0945	SGEFLNIPFLY
HLA-B*0946	HLA-B	B*0946	SGEFLNIPFLY
HLA-B*0947	HLA-B	B*0947	SGEFLNIPFLY
HLA-B*0948	HLA-B	B*0948	SGEFLNIPFLY
HLA-B*0949	HLA-B	B*0949	SGEFLNIPFLY
HLA-B*0950	HLA-B	B*0950	SGEFLNIPFLY
HLA-B*0951	HLA-B	B*0951	SGEFLNIPFLY
HLA-B*0952	HLA-B	B*0952	SGEFLNIPFLY
HLA-B*0953	HLA-B	B*0953	SGEFLNIPFLY
HLA-B*0954	HLA-B	B*0954	SGEFLNIPFLY
HLA-B*0955	HLA-B	B*0955	SGEFLNIPFLY
HLA-B*0956	HLA-B	B*0956	SGEFLNIPFLY
HLA-B*0957	HLA-B	B*0957	SGEFLNIPFLY
HLA-B*0958	HLA-B	B*0958	SGEFLNIPFLY
HLA-B*0959	HLA-B	B*0959	SGEFLNIPFLY
HLA-B*0960	HLA-B	B*0960	SGEFLNIPFLY
HLA-B*0961	HLA-B	B*0961	SGEFLNIPFLY
HLA-B*0962	HLA-B	B*0962	SGEFLNIPFLY
HLA-B*0963	HLA-B	B*0963	SGEFLNIPFLY
HLA-B*0964	HLA-B	B*0964	SGEFLNIPFLY
HLA-B*0965	HLA-B	B*0965	SGEFLNIPFLY
HLA-B*0966	HLA-B	B*0966	SGEFLNIPFLY
HLA-B*0967	HLA-B	B*0967	SGEFLNIPFLY
HLA-B*0968	HLA-B	B*0968	SGEFLNIPFLY
HLA-B*0969	HLA-B	B*0969	SGEFLNIPFLY
HLA-B*0970	HLA-B	B*0970	SGEFLNIPFLY
HLA-B*0971	HLA-B	B*0971	SGEFLNIPFLY
HLA-B*0972	HLA-B	B*0972	SGEFLNIPFLY
HLA-B*0973	HLA-B	B*0973	SGEFLNIPFLY
HLA-B*0974	HLA-B	B*0974	SGEFLNIPFLY
HLA-B*0975	HLA-B	B*0975	SGEFLNIPFLY
HLA-B*0976	HLA-B	B*0976	SGEFLNIPFLY
HLA-B*0977	HLA-B	B*0977	SGEFLNIPFLY
HLA-B*0978	HLA-B	B*0978	SGEFLNIPFLY
HLA-B*0979	HLA-B	B*0979	SGEFLNIPFLY
HLA-B*0980	HLA-B	B*0980	SGEFLNIPFLY
HLA-B*0981	HLA-B	B*0981	SGEFLNIPFLY
HLA-B*0982	HLA-B	B*0982	SGEFLNIPFLY
HLA-B*0983	HLA-B	B*0983	SGEFLNIPFLY
HLA-B*0984	HLA-B	B*0984	SGEFLNIPFLY
HLA-B*0985	HLA-B	B*0985	SGEFLNIPFLY
HLA-B*0986	HLA-B	B*0986	SGEFLNIPFLY
HLA-B*0987	HLA-B	B*0987	SGEFLNIPFLY
HLA-B*0988	HLA-B	B*0988	SGEFLNIPFLY
HLA-B*0989	HLA-B	B*0989	SGEFLNIPFLY
HLA-B*0990	HLA-B	B*0990	SGEFLNIPFLY
HLA-B*0991	HLA-B	B*0991	SGEFLNIPFLY
HLA-B*0992	HLA-B	B*0992	SGEFLNIPFLY
HLA-B*0993	HLA-B	B*0993	SGEFLNIPFLY
HLA-B*0994	HLA-B	B*0994	SGEFLNIPFLY
HLA-B*0995	HLA-B	B*0995	SGEFLNIPFLY
HLA-B*0996	HLA-B	B*0996	SGEFLNIPFLY
HLA-B*0997	HLA-B	B*0997	SGEFLNIPFLY
HLA-B*0998	HLA-B	B*0998	SGEFLNIPFLY
HLA-B*0999	HLA-B	B*0999	SGEFLNIPFLY
HLA-B*0999	HLA-B	B*0999	SGEFLNIPFLY

**CD8+ Cytotoxic T Lymphocyte (CTL) Clone PL8**

- HLA～致死性免疫逃れ移植を受けた患者の移植後末梢血単核球から創立
- 患者EBV-transformed B cells (LCL) に対しては抗体活性を示すが、ドナーEBV-LCLに対しては抗体活性を示さない
- HLA-A29に特異性を示す
- 白人入植より創立した24のHLA-A29陽性EBV-LCLのうち、21(88%)においてHLA-A29活性を示す

**cDNA Expression Cloning of mHAGs**

**Isolation of cDNA Clones that Confer Antigenicity**

**Antigenicity of UGT2B17 Results from Differential Transcription in Recipient versus Donor Cells**

**Northern Blot Analysis of total RNA**

**Absence of UGT2B17 Transcription Is Due to a Gene Deletion**

**UGT2B17 mRNA Is Selectively Expressed in the Organs That are Targets for GVHD**

**Recipient Antigen Presenting Cells Stimulate PL8 CTL**

**SSP-PCR for UGT2B17 mRNA**

**IFN-gamma Release Assay**

**Discussion**

- 既報ヒト～マイナーオリジンUGT2B17はGVHD誘導マイナーオリジンであることが強く示唆された
- UGT2B17欠損1チークから移植を受けたUGT2B17陽性患者におけるGVHDの性

## CD34+ purified autologous peripheral blood stem cell transplantation for refractory rheumatic diseases

Medicine and Biosystemic Science, Kyushu University Graduate School of Medical Sciences

Koiji Nagafuji, Mine Herada

## Introduction

Autologous hematopoietic stem cell transplantation(auto-HSCT) has recently been developed as a potential treatment for refractory rheumatic disease in the light of the evidences such as remission of coincidental rheumatic disease after HSCT for hematological disease and the effect of HSCT for animal models of rheumatic disease. Here we report the results of CD34+purified autologous peripheral blood stem cell transplantation(auto-PBSCT) against 4 cases with refractory rheumatic diseases.

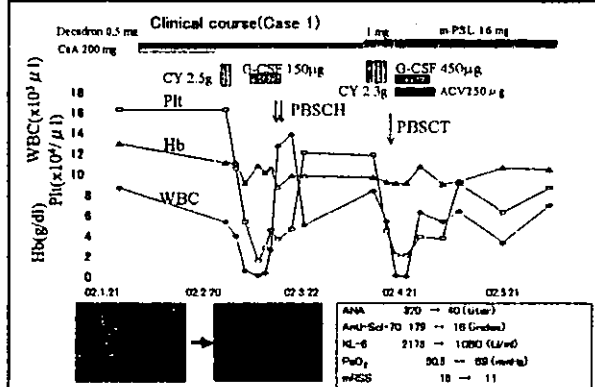
### Case 1

[case1] R.O. 54 y.o. female

[Clinical course until CD34+ purified auto-PBSCT]

She was diagnosed as SLE based on photosensitivity, DLE, positive anti-DNA and positive ANA in 1980. She was also diagnosed as systemic sclerosis due to skin sclerosis, interstitial pneumonia(IP) and positive anti-Scl 70 in 2000.

Since her digital ulcers and IP were not responded to conventional intravenous cyclophosphamide, she received CD34+ purified auto-PBSCT in Feb. 2002.



### Summary of 4 cases with SSc

	case1	case2	case3	case4 (day 30)
age/sex	54/F	55/M	58/F	54/F
Complaints	Digital ulcer/IP	IP	IP	IP
CD34+	4.1%	4.7%	0.7%	0.13/0.1%
Yields of CD34+	20.0x10 <sup>6</sup> /kg	6.7x10 <sup>6</sup> /kg	2.2x10 <sup>6</sup> /kg	1.60-0.49x10 <sup>6</sup> /kg
Purity/recovery	99.3% / 68.5%	99.2% / 64.0%	94.7% / 82.3%	85.4% / 112.1%
Infused CD34 cells	8.4x10 <sup>6</sup> /kg	4.9x10 <sup>6</sup> /kg	2.2x10 <sup>6</sup> /kg	2.1x10 <sup>6</sup> /kg
Neut/500/ $\mu$ l	Day 9	Day 9	Day 10	Day 11
PLT/5x10 <sup>3</sup> / $\mu$ l	Day 20	Day 10	Day 12	Day 16
Skin score	16-11	15-7	32-17	30-11
ANA(titer)	320-40	40-40	40-0	640-640
Anti-Scl-70	1:16-16	54-20	(-)	120-74
KL-6(U/ml)	2175-1080	2650-813	1171-1059	955-890
Post-transplant Complication	CMV uria	(-)	CMV uria	CMV uria
Post-transplant Complication	ADV cystitis			

### Case 2

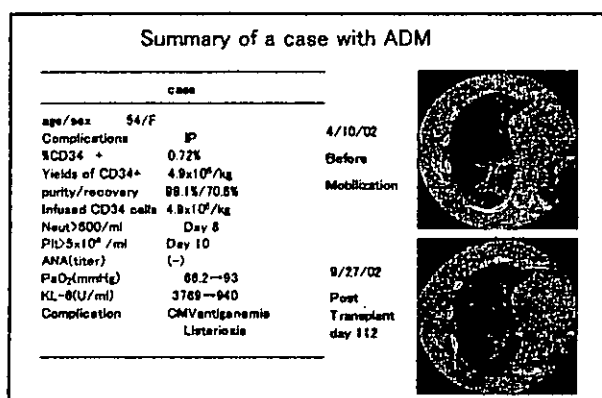
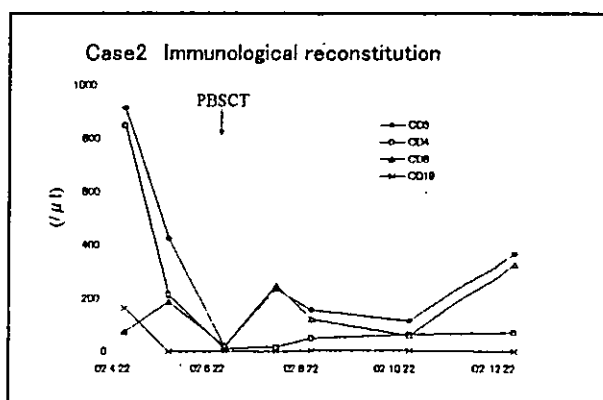
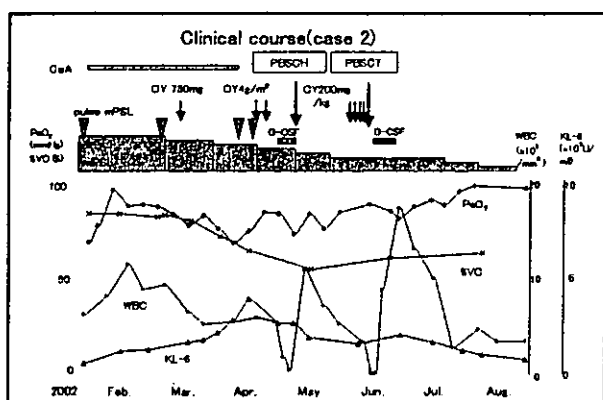
[Case 2] R.M. 54y.0. female

[Clinical course until CD34+ purified auto-PBSCT]

The patient was admitted to our hospital due to fever and skin rash and was diagnosed as amyopathic dermatomyositis(ADM) based on the typical skin rash and interstitial pneumonia(IP) in Jan. 2002.

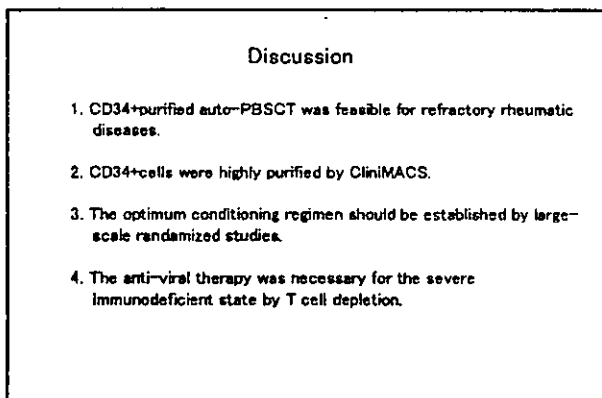
Since her IP was progressive and refractory to conventional therapy with corticosteroids and immunosuppressants, she received CD34+ auto-PBSCT in Apr. 2002.





### Conclusion

1. CD34+purified auto-PBSCT was feasible for refractory rheumatic diseases.
2. CD34+purified auto-PBSCT improved the skin sclerosis of SSc and the progressive IP of ADM.
3. The optimal conditioning regimen should be established by large-scale randomized studies.
4. The anti-viral therapy was necessary for the severe immunodeficient states by T cell depletion.



### Conclusion

CD34+ purified auto-PBSCT is feasible and effective for refractory rheumatic diseases.

厚生労働科学研究ヒトゲノム・再生医療等研究事業

「骨髓等を利用した効率的な造血幹細胞移植の運用・登録と臨床試験体制の確立に関する研究」

班

主任研究者 小寺良尚

平成 15 年度第一回研究班会議

日時：平成 15 年 7 月 12 日(土)

場所：名古屋第一赤十字病院古川講堂

同種末梢血幹細胞至適採取時期決定における末梢血 circulating immature cell count の有効性に関する検討

愛媛県立中央病院 血液内科

小塙輝彦 原 雅道

岡山大学病院 輸血部

池田和真 久保西四郎 吉田親正

岡山大学病院 血液・腫瘍・呼吸器内科

品川克至 藤井伸治 豊嶋崇徳 石丸文彦 谷本光音

【緒言】末梢血幹細胞移植術を安全に行う為には十分量の末梢血幹細胞(PBSC)を採取する必要がある。我々は既に自己 PBSC 至適採取時期の決定における末梢血 circulating immature cell (CIC) count の有効性について報告している(Transfusion 42;1514, 2002)。今回我々は、同種 PBSC 至適採取時期の決定における末梢血 CIC count の有効性について検討した。

【対象・方法】1995 年から 2002 年の間に当科で G-CSF を併用して PBSC を採取した健常人ドナー 57 例(男性 27 例、女性 30 例)を対象とした。採取当日の末梢血 CIC、WBC、CD34 陽性細胞数等と採取 CD34 陽性細胞数との関連を retrospective に検討した。統計学的解析には Pearson's rank correlation analysis 等を用いた。

【結果】対象症例の年齢中央値は 39 歳で、apheresis 回数は計 123 回であった。採取当日の末梢血 CIC( $\times 10E9/L$ )は採取 CD34 陽性細胞数( $\times 10E6/L$ )と弱い相関を示した( $r=.338$ 、 $p=.0001$ )。必要採取 CD34 陽性細胞数を  $20 \times 10E6/L$  と設定した場合、末梢血 CIC count の cut off 値を  $1.7 \times 10E9/L$  とすると sensitivity 64.7%、specificity 77.5% であった。

【結語】同種 PBSC 至適採取時期の決定において末梢血 CIC count は比較的有効な指標であると考えられた。

厚生労働省科学研究ヒトゲノム・再生医療等研究事業  
 「骨髄などを利用した効率的な造血細胞移植の運用・登録と臨床研究体制の確立に関する研究」班

平成 15 年度第一回研究班会議 平成 15 年 7 月 12 日名古屋第一赤十字病院

同種末梢血採取における適正な採取量に関する研究

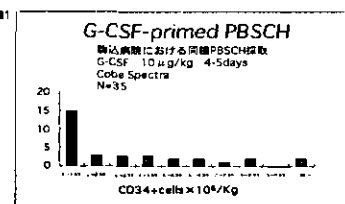
班員 都立駒込病院 造血細胞移植チーム 坂巻壽、比留間潔、奥山美樹、酒井美和

目的：2000 年 4 月の同種末梢血の保険収載以来、我が国での同種末梢血移植は、急速に増加し、瞬く間に骨髄移植を凌駕している。同種末梢血採取では欧米で少なからぬドナーの死亡事故も報告されており、全身麻酔を行わない末梢血採取が必ずしも安全とは言えない。どの位の

表1

G-CSF-primed PBSCH	
駒込病院における同種PBSCH採取	
G-CSF	10 µg/kg 4-5days
Cobe Spectra	
N=35	
Product	170.0±24.1 ml
MNC	3.91±1.71 ×10 <sup>10</sup>
MNC/Kg	6.76±3.20 ×10 <sup>8</sup> /kg
CD3+cells	1.50±0.51 ×10 <sup>10</sup>
CD3+cells/kg	2.57±1.07 ×10 <sup>8</sup> /kg
CD34+cells	2.46±2.31 ×10 <sup>6</sup>
CD34+cells/kg	4.18±3.87 ×10 <sup>6</sup> /kg

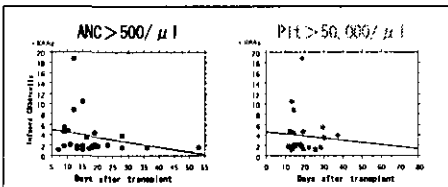
細胞数を採取するのが、患者にとってもドナーの安全の面からも良いのかの基準が現時点では明確になっておらず、単施設での解析を



行った。方法：都立駒込病院で行った同種末梢血採取 35 例を retrospective に解析した。G-CSF は 10 µg/kg を 4-5 日間皮下注し、Cobe Spectra を用いて 100ml-200ml/kg を処理して採取した。採取細胞の一部は直ちに CD34, CD3, GM-CSF の測定を行った。結果：単核球数としては  $6.76 \pm 3.20 \times 10^8/\text{kg}$  、CD34+細胞として  $4.18 \pm 3.87 \times 10^6/\text{kg}$  の採取が出来た（表 1）。3 日間採取したケースは無く、2 日間採取したのは 10 例、残り 25 例は 1 日で採取が終了した。しかし、採取量の個体差は大きく中央値で  $2.36 \times$

図2

輸注CD34+細胞と造血回復

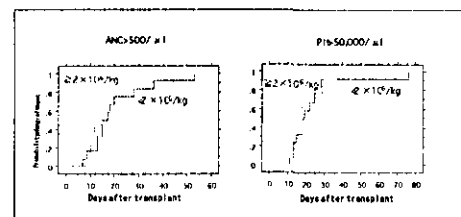


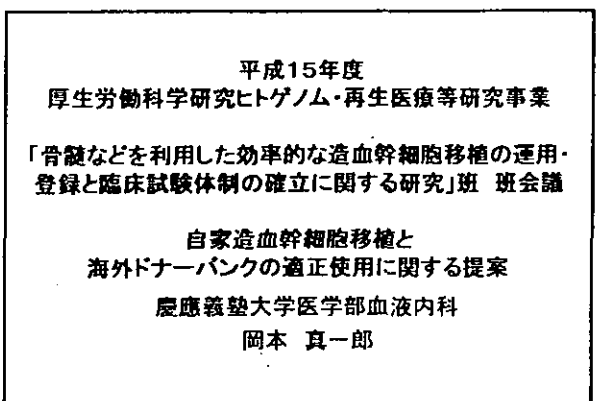
$10^8/\text{kg}$  (範囲  $1.21 \sim 18.92 \times 10^8/\text{kg}$ ) であり（図 1）、 $2 \times 10^8/\text{kg}$  以下のドナーも 15 例存在した。図 2 に示すように、輸注した CD34+ 細胞数と好中球数  $\geq 500/\mu\text{l}$  及び血小板数  $\geq 50000/\mu\text{l}$  との相関では、好中球の回復とに弱い相関が認められた ( $R = 0.242$ )。輸注された CD34+ 細胞数  $2 \times 10^8/\text{kg}$  以上と  $2 \times 10^8/\text{kg}$  未満で好中球と血小板の回復速度

に有意差を認めなかった（図 3）。考案：G-CSF 勤員による末梢血幹細胞採取では、その採取できる細胞数に個体差が大きい。造血の回復と輸注した CD34+ 細胞には弱い相関が認められたが、造血の回復速度には差が認められなかった。この結果は 1 施設の少数例の結果であり、今後は移植成績との相関も検討しながら、多施設による多数例での解析が急務である。

図3

輸注CD34+細胞と造血回復

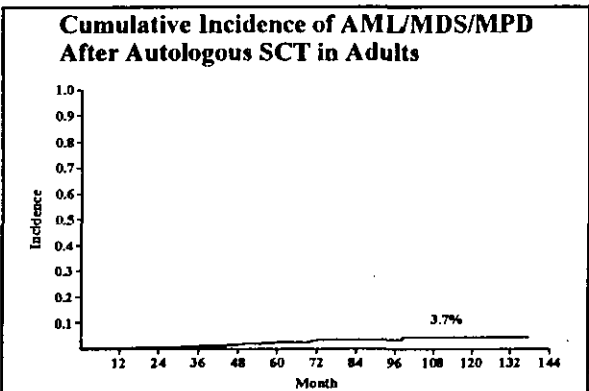




### Secondary Malignancies After Autologous SCT (N=4771)

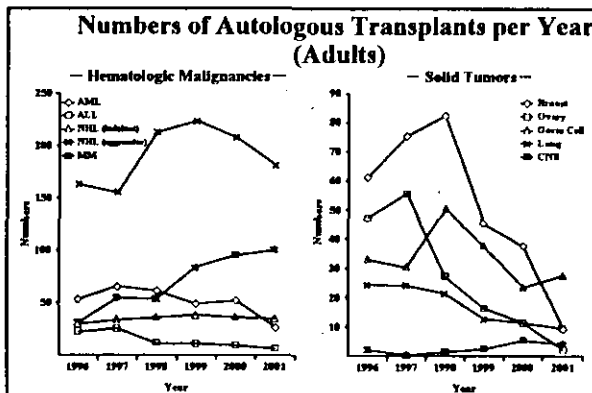
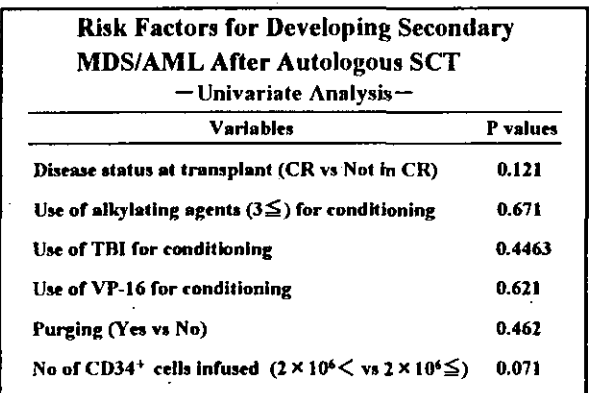
- Incidence 101 cases 2.08%
- Median time to develop malignancies 38.8M
- Diagnosis of malignancies
 

Acute myeloid leukemia	23
Myelodysplasia	40
Lymphoma (including ATL)	6
Solid tumors	32



### Risk Factors for Developing Secondary MDS/AML After Autologous SCT — Univariate Analysis —

Variables	P values
Age (15≤ <30, 30≤ <45, 45≤)	0.042
Underlying diseases (lymphoma vs others)	0.041
Source of stem cells (PBSCT vs BMT)	0.011
Time from diagnosis to SCT (2Y≤ vs 2Y<)	0.001
Time to platelet 50K (1M≤ vs 1M<)	0.031



**Retrospective study for Secondary MDS/AML  
after Auto SCT**  
**(Proposal)**

- To determine the incidence of secondary MDS/AML after high-dose therapy and autologous PBSCT
- Patients with lymphoma, leukemia, and myeloma who received high-dose therapy and autologous PBSCT from 1991 through 2001, and followed without further treatment for underlying diseases

**Retrospective study for Secondary MDS/AML  
after Auto SCT**  
**(Proposal)**

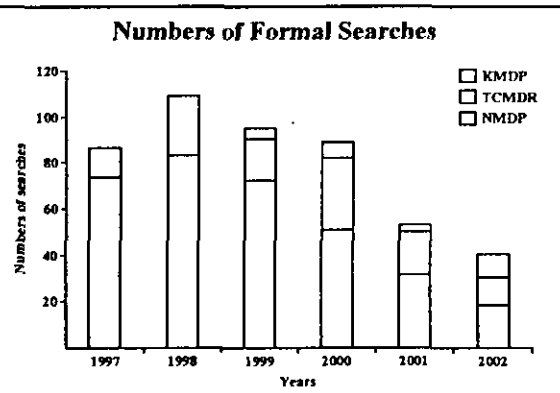
- Data will be collected on :
  1. Pretransplant treatment (radiotherapy, alkylating agent dose score : AAD, topoisomerase inhibitor dose score : TID, use of G-CSF)
  2. PBSCs collection (chemotherapeutic agents and cytokines for mobilization, timing of collection)
  3. Current status of hematopoiesis (blood cell counts and karyotypes if available)

**Unrelated SCT using Oversea Donors**  
**-Summary-**

- The transplant outcome is comparable to the transplants using JMDP donors
- Selection of oversea donors based on HLA allele disparity is recommended
- GVHD prophylaxis using tacrolimus is recommended

**Unrelated SCT using Oversea Donors**  
**-Summary-**

- The transplant outcome is comparable to the transplants using JMDP donors
- Selection of oversea donors based on HLA allele disparity is recommended
- GVHD prophylaxis using tacrolimus is recommended



平成15年度厚生労働科学研究ヒトゲノム、再生医療等研究事業

「骨髄等を利用した効率的な造血幹細胞移植の運用、登録と臨床試験体制の確立に関する研究」(主任研究者:小寺良尚)班

分担研究課題

非血縁者間造血細胞移植と骨髄バンクの効率的運用に関する研究

分担研究者

小寺良尚

研究協力者

宮村耕一、北折健次郎、笠井雅信、大庭拓、稻本賀弘、鐵塚八千代  
辻村朱音、徳永正浩、名古屋第一赤十字病院内科

平成15年7月12日 於 名古屋

非血縁者間造血細胞移植

非血縁者間骨髄移植

新鮮骨髄

一時凍結骨髄

非血縁者間末梢血幹細胞移植

(非血縁者間臍帯血移植)

非血縁者間DLI

従来型

*ex vivo*操作

—: 研究課題、( ): 他班

非血縁者間造血幹細胞移植の需要予測

登録年齢原則0~50歳としての、JMDPにおける年間新規登録患者数  
: 1, 500名(年間実施例数: 750例、供給率: 50%)、150名/5歳区切り  
(この数字は昨年実績であり、既に臍帯血移植、HLA不適合移植、グリベック等の影響は相殺されていると考えられる)

白血病年間発生: 0~50歳: 3/100, 000, 50~60歳: 6/100, 000  
登録年齢65歳までが“常識”となると、50~65歳の年間新規登録患者  
: 150人X3区切りX2倍発生率=900人

骨髄異形性症候群: ~50歳のMDS 4人に対し50~65歳は15人  
(Wintrobe、第9版、1991)  
従って50~65歳では現在の4倍の需要、JMDPのMDSに対する移植実績  
: 70例/年、70例X50%供給率X4=560人

即ち、非血縁者間造血幹細胞移植(主として骨髄移植)の需要は、対象年齢上限  
65歳が“常識”になるとすると、900人+560人=1, 460人/年増加すると  
推測される。

非血縁者間造血幹細胞移植の需要(まとめ)

1, 500人(現行)+1, 460人(50~65歳)=約 3, 000人/年  
2002年骨髄バンク移植実績: 739人  
　　さい臍帯血ネットワーク移植実績: 295人、計 1, 034人/年

需要の残り2/3を満たすために、

1. 骨髄バンクにおけるドナーブルサイズ(現在170, 000人)の拡大  
と患者登録～移植実施期間の短縮(一次検査DNAタイピング化、  
日程調整のための凍結保存)、末梢血幹細胞採取法の導入
2. 既存臍帯血数(現在約20, 000)の拡大
3. HLA Class-II一座不適合非血縁ドナーの利用
4. 母児間免疫容認ドナーの利用
5. CD34+細胞移植
6. 自家造血幹細胞移植

DLIの需要

1. 非血縁者間骨髄移植初期の500例の死因の検討より、  
生着不全: 13例、拒絶: 7例、再発: 61例、計81例  
を従来型DLIの適応とすると、81/500例=16. 2%、  
更に活性化CD4細胞によるDLIが難治感染症をも  
対象としうると考えると、IP: 48例、敗血症: 38例を  
加えて、計167/500例=33. 4%が潜在需要と考えられる。

2. 単一施設397例の同種造血幹細胞移植(血縁+非血縁)中、  
DLI(従来型+活性化CD4)実施例: 28例(7. 0%)、  
DLI未実施再発: 23例、未実施拒絶: 14例、  
未実施ウイルス感染症死: 12例、計49例(12. 3%)  
総計77/397例=19. 3%が潜在需要と考えられる。

DLIの需要(まとめ)

造血幹細胞移植実施例数の15~30%推定される。

DLI(特に非血縁者間造血幹細胞移植において)の  
需要を満たすために、

従来型DLI:

- 1) 実施施設から採取施設への費用支払いに関する取り決め
- 2) DLIドナーの保護
- 3) 一時凍結保存

活性化CD4によるDLI:

- 1) 血縁者間における臨床試験(再発及び感染症)の実施と評価
- 2) 干細胞採取時に採取したリンパ球は利用できるか、又そのレギュレーション
- 3) 非血縁者間DLIは再発等に対する緊急必要性から保険適用された。  
活性化CD4細胞によるDLIもそれに準じた取り扱いが出来ないか。  
ドナーの負担は従来型と比べてはるかに少なく、又幹細胞採取時に提供  
していただいているれば効率は極めて良くなる。その折にはレギュレーションが  
必要。

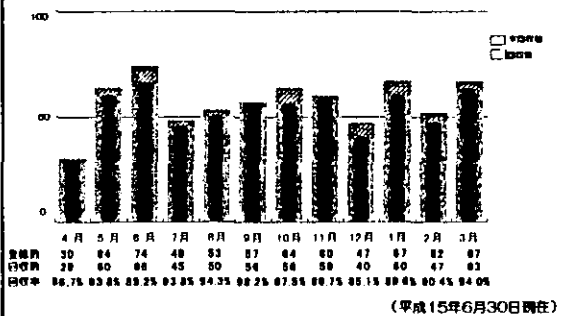
同種末梢血幹細胞移植の、非血縁ドナーへの適用のために

血縁ドナーの安全性に関する情報

日本造血幹細胞移植学会同種末梢血幹細胞ドナー  
フォローアップ事業レベルⅠのデータより

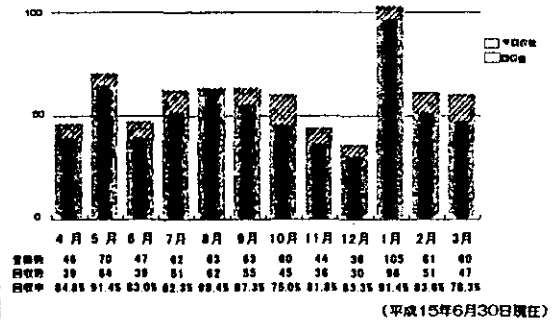
登録数およびドナー短期調査票回収数

(平成12年度)



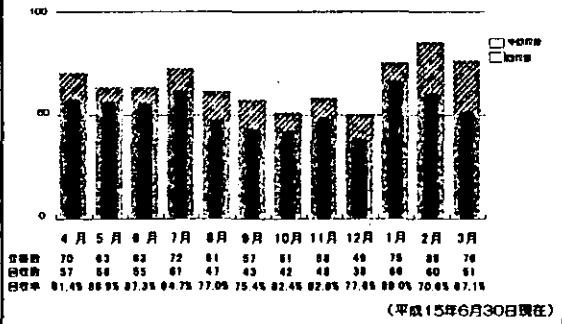
登録数およびドナー短期調査票回収数

(平成13年度)



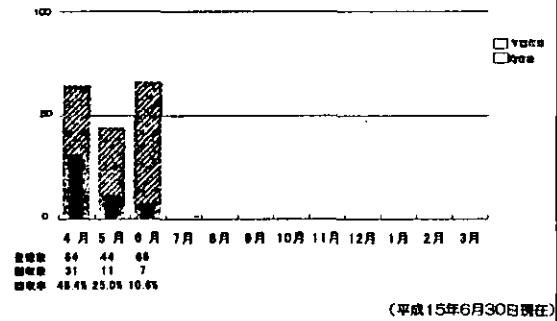
登録数およびドナー短期調査票回収数

(平成14年度)



登録数およびドナー短期調査票回収数

(平成15年度)



同種末梢血幹細胞血縁ドナーにおける安全性に関する情報  
(2003. 6. 30現在)

- 短期監査有寄事象: 36報告 / 2354既登録 = 1.5%  
(採取後3週目のクモ膜下出血並びに一年目の長期フォローアップ報告で判明した採取後2週目の深部静脈血栓症を含む)
- 中、長期監査有寄事象: 4報告 / 1,088回収(1, 2, 3年目) = 0.4%  
(骨髄増殖性疾患、急性白血病、乳がん、肺がん 各1例)

当班としての本課題に対する今後の研究方針

- 本課題に関する学会事象への協力
- 骨髄バンクドナーとの安全性比較に関するJMDPの作業への協力
- 海外安全情報の収集
- 重篤事例を対象とした、本法との因果関係の解明
- バンクドナーへの適用を想定したシステム改変に関する検討(JMDPを補佐する立場より)

厚生労働科学研究ヒトゲノム・再生医療等研究事業  
「骨髄等を利用した効率的な造血幹細胞移植の選用・登録と  
臨床試験体制の確立に関する研究」班  
平成15年度第一回報会議

### 骨髄バンクを介して行われた ドナーリンパ球輸注の成績

JMDP医療委員会  
堀部敬三、加藤俊一、笠井正晴、岡本真一郎、権藤久司、  
坂巻 齊、高橋 聰、平岡 雄、富村耕一、土田昌宏(委員長)

2003年7月12日

### JMDPにおけるDLIの申請および実施件数

2003年7月4日現在

BLPDに対するDLI  
1994年7月～1999年7月 実施 11件

適応拡大後	申請	133件
2000年1月～2003年7月	審査・調整中	3件
	中止	65件
	実施	65件

### 中止理由

実施日決定前	59件
審査判定不可	13件
ドナーの都合	8件
患者死亡	1件
患者の都合	24件
不明	13件
実施日決定後	6件
血管確保困難	1件
患者死亡	2件
患者の都合	2件
不明	1件

### 適応拡大後実施例の疾患内訳

成分	全血	輸注中止
BLPD	2例	
CML	19例	1例
AML	20例	
ALL	11例	
MDS	5例	
ATL	1例	1例(FK中止でCR)
ML	1例	
MM	1例	
混合キメラ	1例	2例
麻疹		1例
計	59例	6例
		2例

### BLPD

年	原疾患	年齢/性	ATG	実施日	輸注 (day)	DLI (day)	効果	転帰
1994	CML	28/M	?	120	輸注中止	-	無効	発死
1995	CML	31/M	+	80	160(*16)	1	-	死亡(360)
1996	WAS	1/M	+	60	77(5)	1	-	生存
1997	AA	24/F	+	39	49(4)	2	+	生存
1998	AML	15/M	+	46	67(7)	2	+	有効
1998	AA	31/M	+	22	49(2)	1	-	無効
1998	WAS	13/M	+	48	60(4)	2	+	死亡(56)
1998	ALL	15/M	+	59	69(8)	1	-	無効
1998	AA	20/F	+	39	57(4)	1	-	NE
1999	MDS	14/F	+	56	64(2)	1	-	死亡(92)
1999	AML	14/F	+	60	71(1)	1	-	死亡(124)
2000	SAA	16/F	+	59	75(6)	1	-	無効
2002	CML	41/M	?	180	220(11)	1	+	PR

\* 申請からDLIまでの日数

### CML cytogenetic relapse

DLI-年齢/性	実施日	輸注 (day)	DLI (day)	効果(備考)	転帰
14	32/F	304	3	5.0	CR
15	19/M	728	3	3.75	-
23	18/M	641	2	4.0	-
24	51/F	481	2	6.0	無効(再移植)
36	58/M	176	1	1.0	無効(IFNでCR)
38	25/F	926	3	3.7	CR(GVHD)
52	38/F	588	2	1.0	CR
55	44/F	815	1	1.2	NE(Glivecで消失)
58	46/M	1545	1	6.5	CR(Glivec併用)

輸注T細胞数: ×10<sup>7</sup>/kg

### CML-AP/BC

DLI- 年齢/性 実施日 輸注 累計 DLI後 効果(参考) 転帰						
ID	(day)	回数	T細胞数	GVHD		
<b>(AP)</b>						
51	42/M	786	3	0.74	+	CRp(Glivec併用) 生存
12	35/M	652	1	0.96	-	CRp(髪外再発) 死亡
28	48/M	371	1	5.0(MNC)+	-	NE(再発) 死亡
37	27/M	858	1	10.0	-	CRp(再発再移植) 生存
41	38/M	457	3	1.32	-	無効(化療併用) 死亡
53	43/M	494	2	10.0	-	CRp(Glivec前投与) 生存

輸注T細胞数:  $\times 10^7/\text{kg}$

### AML non-CR

DLI-ID	年齢/性	病型	輸注		DLI後 回数	効果(参考)	転帰
			累計	T細胞数*			
17	27/F	M2	1	0.6	-	無効(化療先行)	死亡
26*	28/M	M2	3	1.3	-	無効(化療CR後DLI)	生存
33	43/F	M5	2	7.22	-	無効	死亡
34	20/F	M4	1	1.0	-	NE(再移植)	死亡
35	15/M	M2	1	8.1	-	無効(再移植)	生存
40	42/M	M3v	1	3.5	-	無効	死亡
42	38/M	M2	3	5.7	-	無効	死亡
43	21/M	M4	2	6.8	+	CR(化療先行)	生存
48	21/M	M4	2	2.96	+	無効	死亡
54	36/F	M4	3	16	+	CR(化療先行)	死亡(肺炎)
56	10/F	M2	1	14.5	+	CR(化療後nadirでDLI)	生存
57	11/F	M4	.2	16.0	+	無効	死亡
60	52/F	M1	2	0.5	+	CR	生存
62	17/M	M2	2	2.32	+	CR	生存

\*T細胞数:  $\times 10^7/\text{kg}$

### ALL

DLI- 年齢/性 病期 輸注 累計 DLI後 効果(参考) 転帰(死因)						
ID			回数	T細胞数	GVHD	(DLI後月数)
13	42/M	T	CR	1	4.1	+
16	35/M	NR	1	1.0	NE	無効 死亡(再発1)
18	51/M	Ph1	CR	2	1.0	+
22	48/M		CR	2	8.0	-
32	27/M		nadir	1	7.4	+
47	35/M	Ph1	CR	1	5.4	+
Mixed lineage leukemia						
61*	43/M	Ph1	CyRp	3	6.8	+
輸注T細胞数: $\times 10^7/\text{kg}$						

### MDS

DLI-ID	年齢/性	病型	輸注				DLI後	効果	転帰
			回数	T細胞数	GVHD				
30	46/F	RAEB-T	1	5.6	NE	NE	死亡		
44	32/M	RAEB-T	1	1.0	NE	NE	死亡(再発)		
50	49/F	RAEB-T	1	5.23	-	無効	生存(再移植)		
59	4/M	JMML	3	5.0	+	PR	生存		

### Multiple Myeloma

61	46/M	混合キメラ	1	8.84	+	PR	死亡(GVHD/TMA)
輸注T細胞数: $\times 10^7/\text{kg}$							

### Mixed chimera

DLI- 年齢/性 基礎疾患 輸注 累計 DLI後 効果 転帰						
ID			回数	T細胞数	GVHD	
25	3/M	HPS	2	4.0	+	有効 生存
39	2/M	WAS	3	0.5	-	無効 生存
49	4/M	Hurler病	1	1.63	-	有効 生存
Measles						
48	2/F	Hurler病	1	1.0	+	有効 生存
輸注T細胞数: $\times 10^7/\text{kg}$						

### まとめ

1. JMMPを介して今までに76例(輸注中止3例を含む)のドナーリンパ球輸注を行った。その内55例について100日報告書に基づいて成績を解析した。
2. BLPDでのDLI申請が減少しているが、Rituximab無効例ではDLIも無効であった。
3. CMLでは、細胞遺伝学的再発例でGlivec併用例を含め評価可能な8例中5例で著効を示した。急性転化例でも6例中4例で反応が得られているが、効果は短い。
4. AMLでは、DLI単独または化學療法の前処置でCRが得られる例が散見され、有効性が示唆された。
5. ALLとMDSにおいては評価可能な例数が少なく、未だ明らかな有効例はみられていない。
6. 非腫瘍性混合キメラに対しては効果が期待できる。

